

# 复合酶提取石榴幼果总黄酮工艺优化及其抑制 $\alpha$ -葡萄糖苷酶活性

王占一<sup>1</sup>,廖成斌<sup>1</sup>,公金艳<sup>1</sup>,张卓<sup>1</sup>,汤锐睿<sup>1</sup>,戴博<sup>2</sup>

(1.枣庄学院食品科学与制药工程学院,山东枣庄 277160;

2.空军总医院药学部,北京 100142)

**摘要:**优化复合酶(纤维素酶-果胶酶-木瓜蛋白酶)提取石榴幼果总黄酮的工艺,并测定其抑制 $\alpha$ -葡萄糖苷酶活性。以总黄酮得率为评价指标,在单因素实验基础上,D-最优混料设计优化复合酶配比,正交试验设计对料液比、介质pH、酶解温度、酶解时间进行优化,并以PNPG为底物测定总黄酮对 $\alpha$ -葡萄糖苷酶的抑制活性。结果显示:复合酶最优配比为:纤维素酶44.2%、果胶酶31.6%、木瓜蛋白酶24.2%,最佳提取条件为:料液比1:18(g/mL)、介质pH5.0、酶解温度50℃、酶解时间4.0 h,总黄酮得率为3.38%,其浓度为1.5 mg/mL时,对 $\alpha$ -葡萄糖苷酶抑制率达到63.9%,抑制作用的 $IC_{50}$ 为1.059 mg/mL,在浓度0.15~1.5 mg/mL范围内,石榴幼果总黄酮浓度与其对 $\alpha$ -葡萄糖苷酶抑制效果之间呈现一定的正相关关系,其抑制机理属于可逆性抑制和非竞争性抑制。该方法可为石榴幼果总黄酮的提取和应用提供一定的科学依据。

**关键词:**石榴幼果,总黄酮,复合酶法,D-最优混料设计,抑制 $\alpha$ -葡萄糖苷酶活性

## Complex Enzymatic Extraction of Total Flavonoids from Pomegranate Fruitlets and Their Anti- $\alpha$ -Glucosidase Activity

WANG Zhan-yi<sup>1</sup>, LIAO Cheng-bin<sup>1</sup>, GONG Jin-yan<sup>1</sup>, ZHANG Zhuo<sup>1</sup>, TANG Rui-rui<sup>1</sup>, DAI Bo<sup>2</sup>

(1. College of Food Science and Pharmaceutical Engineering, Zaozhuang University, Zaozhuang 277160, China;

2. Department of Pharmacy, Air Force General Hospital, PLA, Beijing 100142, China)

**Abstract:** To optimize the complex enzymatic (cellulose-pectinase-papain) extraction of total flavonoids from pomegranate fruitlets and to determine its anti- $\alpha$ -glucosidase activity with the yield of total flavonoids as an evaluation index, D-optimal mixture design was applied to optimize the complex enzymatic ratio, and orthogonal experimental design was adopted in the optimization of solid/liquid ratio, medium pH, enzymatic hydrolysis temperature and enzymatic hydrolysis time based on the single factor test, then the anti- $\alpha$ -glucosidase activity was determined with PNPG as substrate. The results showed that optimal ratio of enzyme was determined to be 44.2% for cellulose, 31.6% for pectinase and 24.2% for papain, to obtain a 3.38% of total flavonoids yield, the optimal conditions were determined to be 1:18 (g/mL) for solid/liquid ratio, 5.0 for medium pH, 50℃ for enzymatic hydrolysis temperature and 4.0 h for enzymatic hydrolysis time, the substrate inhibition rate reached 63.9% on  $\alpha$ -glucosidase and the inhibitory effect of  $IC_{50}$  was 1.059 mg/mL at the concentration was 1.5 mg/mL. There was a dose-response relationship between the total flavonoids and anti- $\alpha$ -glucosidase activity in the range of 0.15~1.5 mg/mL of concentration, the inhibition mechanism was reversible inhibition and non competitive inhibition. This method can provide a scientific basis for the extraction and application of total flavonoids from pomegranate fruitlets.

**Key words:** pomegranate fruitlet; total flavonoids; complex enzymatic extraction method; D-optimal mixture design; anti- $\alpha$ -glucosidase activity

中图分类号:TS255.1

文献标识码:B

文章编号:1002-0306(2019)09-0178-07

doi:10.13386/j.issn1002-0306.2019.09.031

引文格式:王占一,廖成斌,公金艳,等.复合酶提取石榴幼果总黄酮工艺优化及其抑制 $\alpha$ -葡萄糖苷酶活性[J].食品工业科技,2019,40(9):178-183,188.

石榴(*Punica granatum* L.)是石榴科石榴属多年生木本植物,全球各地区均有广泛分布<sup>[1]</sup>。石榴作为

收稿日期:2018-09-13

作者简介:王占一(1980-),男,硕士,副教授,主要从事天然药物活性成分提取与分离方面的研究,E-mail:zhiwang@126.com。

基金项目:2015年度国家星火计划项目(2015GA740027);山东省自然科学基金(ZR2018LH020);山东省重点研发计划项目(2016GSF202010);山东省高等学校科技计划项目(J18KA305)。

一种常见的果树,结果率高,尤其在成年树上,结果过多,养分供不应求,不仅影响果实的正常发育,形成许多小果、次果,还会削弱树势,易受冻害和感染病害,并使翌年减产造成小年。因此,除了由于果树本身的调节能力,使发育不良的花和幼果自然脱落外,还需摘除多余的花或幼果,才能满足生产上的要求<sup>[2]</sup>。疏果下树的“石榴幼果”经常作为废物被丢弃,造成资源浪费。近年来,大量研究证明黄酮类成分广泛存在于植物幼果中,而且含量极其丰富,例如椪柑幼果<sup>[3]</sup>、桑葚幼果<sup>[4]</sup>、蜜棗幼果<sup>[5]</sup>等。而石榴幼果中是否含有黄酮类成分,国内外鲜有文献报道。高文秀等<sup>[6-7]</sup>研究发现,采用复合酶法提取植物中黄酮类成分,具有提取效率高、条件温和、操作简单、环境友好等诸多优点。但是,有关复合酶法提取石榴幼果中黄酮类成分领域的研究,国内还未见文献报道。

近年来,随着世界人口老龄化,糖尿病逐渐成为一种严重影响人类健康的常见病、多发病。因而,积极寻找糖尿病治疗药物早已成为该领域的研究热点<sup>[8-9]</sup>。在临幊上, $\alpha$ -葡萄糖苷酶活性抑制剂发挥着重要作用,一直作为一线药物来应用,防止餐后高血糖的发生。植物中黄酮类成分具有显著抑制 $\alpha$ -葡萄糖苷酶活性,国内学者在这方面的研究较多,例如陈浙江等<sup>[10]</sup>对41味中药进行体外抑制 $\alpha$ -葡萄糖苷酶和 $\alpha$ -淀粉酶活性研究,马锦锦等<sup>[11]</sup>考察了葛根异黄酮类化合物对 $\alpha$ -葡萄糖苷酶的抑制作用及构效关系,均取得了较好的阳性结果。因此,本研究以鲁南地区产石榴幼果为试验材料,纤维素酶、果胶酶和木瓜蛋白酶作为复合酶组成,通过D-最优混料设计中的单纯形质心设计结合正交试验法,优化复合酶提取石榴幼果总黄酮的最佳工艺条件,并对提取产物进行抑制 $\alpha$ -葡萄糖苷酶活性的初步研究,为石榴资源的进一步开发利用提供依据。

## 1 材料与方法

### 1.1 材料与仪器

石榴幼果 采自鲁南地区峰城“万亩石榴园”核心区,经枣庄学院李思健副教授鉴定为正品石榴科石榴(*Punica granatum L.*)的幼果,石榴幼果材料在50℃条件下干燥72 h,粉碎,过24目筛,备用;芦丁对照品(含有量>98%,批号:100080-201602)、阿卡波糖对照品(含有量>99%,批号:100808-201203) 中国食品药品检定研究院;纤维素酶(酶活≥20000 U/g)、果胶酶(酶活≥50000 U/g)、木瓜蛋白酶(酶活≥200000 U/g) 国药集团化学试剂有限公司; $\alpha$ -葡萄糖苷酶(酶活约为25000 U/g) 西安沃尔森生物技术有限公司;D101大孔吸附树脂 上海源叶生物科技有限公司;4-硝基苯-a-D-吡喃葡萄糖苷(PNPG)、对硝基苯酚(PNP)、无水乙醇、硝酸铝、氢氧化钠、磷酸二氢钠、磷酸氢二钠、碳酸钠等 天津市大茂化学试剂厂;蒸馏水 枣庄学院生物学省级实验教学示范中心提供。

SYNERGYH1型全功能酶标仪 美国柏腾仪器有限公司;759型紫外-可见分光光度计 上海奥谱

勒仪器有限公司;BP211DAG电子天平 德国Satorius公司;FW135型多功能粉碎机 天津泰斯特仪器有限公司;HH-4型数显恒温水浴锅 巩义予华仪器有限责任公司;RE-2000A型旋转蒸发器 上海亚荣生化仪器厂;SHB-B95A型循环水式多用真空泵 郑州长城科工贸有限公司;PHS-3C型数显酸度计 杭州奥利龙仪器有限公司。

### 1.2 实验方法

1.2.1 石榴幼果中总黄酮的提取和纯化方法 精密称取石榴幼果粉末5.0 g,置于250 mL干燥锥形瓶中,按照试验设计,加入一定配比的复合酶(纤维素酶-果胶酶-木瓜蛋白酶)至一定的加酶量,再加入一定pH的磷酸盐缓冲液至一定的料液比例,用保鲜膜封住瓶口。于一定温度的水浴锅中,不停搅拌,酶解反应至一定的时间。反应结束后,立即在沸水中灭酶10 min,抽滤,滤液定容至100 mL(如果滤液超过100 mL,用旋转蒸发仪减压浓缩至90 mL,再定容)。取滤液适量用D-101大孔吸附树脂静态吸附,75%乙醇洗脱后,用0.45 μm微孔滤膜过滤,减压蒸干后得到石榴幼果总黄酮固体物,称重,备用。

1.2.2 单因素实验 单因素实验中,复合酶选用等比例混合酶(纤维素酶-果胶酶-木瓜蛋白酶=1:1:1)<sup>[6-7]</sup>,其他固定不变的条件为:加酶量为3.0%(质量分数)、料液比1:15、介质pH4.5、酶解温度50℃、酶解时间4.0 h。考察加酶量(1.0%、2.0%、3.0%、4.0%、5.0%)、料液比(1:9、1:12、1:15、1:18、1:21 g/mL)、介质pH(3.5、4.0、4.5、5.0、5.5)、酶解温度(30、40、50、60、70℃)和酶解时间(2.0、3.0、4.0、5.0、6.0 h)对石榴幼果总黄酮提取效果的影响。

1.2.3 D-最优混料设计优化复合酶配比 在单因素实验基础上,采用D-混料设计中的单纯型质心设计<sup>[12-13]</sup>,优化3种酶(纤维素酶-果胶酶-木瓜蛋白酶)的最佳比例。D-最优混料设计试验中,设定加酶量3.0%、料液比1:15、介质pH4.5、酶解温度50℃,酶解时间4.0 h。

1.2.4 正交试验设计优化 分析D-最优混料试验设计结果,结合单因素实验结果,以料液比(A)、介质pH(B)、酶解温度(C)和酶解时间(D)作为自变量,进行正交试验设计,优化复合酶提取石榴幼果总黄酮的最佳提取工艺条件<sup>[14-15]</sup>。正交试验设计中,设定复合酶组成为D-最优混料设计试验结果所得到的数值,加酶量为3.0%。正交试验因素水平见表1。

表1 正交试验设计因素水平表

Table 1 Variables and levels of orthogonal experimental design

水平	因素			
	A 料液比 (g/mL)	B 介质 pH	C 酶解温度 (℃)	D 酶解时间 (h)
1	1:12	4.0	40	3.0
2	1:15	4.5	50	4.0
3	1:18	5.0	60	5.0

1.2.5 黄酮含量的测定 标准曲线的制定:参照文献[16]的方法,略有改动。精密称取芦丁对照品

10.0 mg, 用 75% 乙醇溶解并定容至 50 mL 容量瓶中, 即得 200 μg/mL 的芦丁对照品溶液。依次稀释成 100、50、25、12.5、6.25、0 μg/mL, 加入 5% NaNO<sub>2</sub>、10% Al(NO<sub>3</sub>)<sub>3</sub> 和 4% NaOH 溶液, 静置 20 min, 在 510 nm 波长处测定吸光度, 以吸光度 (A) 对浓度 (C) 绘制标准曲线, 得回归方程 A = 0.008C - 0.0017 (*r* = 0.9995), 在 0 ~ 200 μg/mL 范围内线性关系良好。

准确称取精制后的石榴幼果总黄酮 5.0 mg, 用 75% 乙醇定容至 25 mL, 作为样品溶液, 测定 A 值, 计算样品中总黄酮得率及纯度。

$$\text{得率}(\%) = \frac{\text{样品中总黄酮含量}}{\text{石榴幼果重量}} \times 100 \quad \text{式(1)}$$

$$\text{纯度}(\%) = \frac{\text{样品中总黄酮含量}}{\text{石榴幼果总黄酮固形物重量}} \times 100 \quad \text{式(2)}$$

### 1.2.6 石榴幼果总黄酮抑制 α-葡萄糖苷酶活性

**1.2.6.1 PNP(P-Nitrophenol, 对硝基酚)标准曲线的绘制** 参考文献[17]试验方法, 略有改动。用 PBS 缓冲液(pH6.8)配制 PNP 母液, 并依次稀释成 2.4、1.2、0.6、0.3、0.15、0 mmol/L 浓度梯度的标准溶液。取上述标准溶液各 1.0 mL, 加入 1 mol/L 的 Na<sub>2</sub>CO<sub>3</sub> 溶液 1.0 mL, 混匀后静置 1 min, 用酶标仪在 405 nm 波长下测定吸光度。以吸光度 (A) 对浓度 (C) 绘制标准曲线。求得回归方程为: A = 0.3426C - 0.0015 (*r* = 0.9994, *n* = 6), 线性范围为: 0 ~ 1.2 mmol/L。

**1.2.6.2 抑制率的测定** 参考文献[18]试验方法, 略有改动。在 96 孔板中加样, 将试验分成 5 组 (*n* = 3): 样品组: 依次加入 160 μL PBS 缓冲液 (pH6.8), 20 μL α-葡萄糖苷酶溶液 (6 U/mL) 和 20 μL 样品溶液, 37 °C 恒温 15 min, 加入 40 μL PNPG (P-Nitrophenyl-α-D-glucopyranoside, 4-硝基苯-α-D-吡喃葡萄糖苷) 溶液 (4.8 mmol/L), 37 °C 恒温 30 min, 加入 80 μL Na<sub>2</sub>CO<sub>3</sub> 溶液 (1.5 mol/L) 中止反应, 在 405 nm 波长下, 应用酶标仪测定吸光度。样品空白组: 以 PBS 缓冲液代替酶液, 其它试剂同样品组。阴性对照组: 以 PBS 缓冲液代替样品溶液, 其它试剂同样品组。空白组: 以 PBS 缓冲液代替酶液和样品溶液, 其它试剂同样品组。阿卡波糖组: 以与样品溶液相同浓度梯度的阿卡波糖代替样品溶液, 其它试剂同样品组。根据公式(3)计算石榴幼果总黄酮对 α-葡萄糖苷酶的抑制率, 并计算抑制剂对底物的 IC<sub>50</sub> 值。

$$\text{抑制率}(\%) = \frac{(A_3 - A_4) - (A_1 - A_2)}{(A_3 - A_4)} \times 100 \quad \text{式(3)}$$

式中: A<sub>1</sub>、A<sub>2</sub>、A<sub>3</sub> 和 A<sub>4</sub> 分别为样品组、样品空白组、阴性对照组和空白组的吸光度。

**1.2.6.3 酶抑制动力学分析** 大量预实验得知, 反应体系 α-葡萄糖苷酶反应初速率维持时间 ≥ 32 min。固定样品溶液浓度 (1.50 mg/mL) 和底物 PNPG 浓度 (4.8 mmol/L), α-葡萄糖苷酶浓度依次设定为 2、4、6、8、10 U/mL, 分为 2 组进行试验, 一组加入石榴幼果总黄酮 5 mL, 另一组以 PBS 溶液代替石榴幼果总黄酮, 作为阴性对照, 分别测定两组反应初速率

(V)<sup>[19-21]</sup>。以加入反应体系前的 α-葡萄糖苷酶浓度为横坐标, 初速率 (V) 为纵坐标作图, 确定石榴幼果总黄酮对 α-葡萄糖苷酶的抑制是否属于可逆性抑制类型。

分别以浓度递增的 PNPG (1.6、3.2、4.8、6.4、8.0 mmol/L) 为底物, 加入不同浓度 (0.3、0.6、0.9、1.2、1.5 mg/mL) 的石榴幼果总黄酮, 分别测定其在 25 min 时的吸光度。以加入反应体系前底物 PNPG 浓度的倒数 (1/[S]) 为横坐标, 反应速率的倒数 (1/V) 为纵坐标作图, 确定石榴幼果总黄酮对 α-葡萄糖苷酶抑制反应的类型<sup>[19]</sup>。

### 1.3 数据分析

D-最优混料设计采用 Design-Expert 8.0.5 统计分析软件, 图形制作采用 Excel 和 OriginPro 8.0 数据处理软件 (*n* = 3)。

## 2 结果与分析

### 2.1 单因素实验

**2.1.1 加酶量** 由图 1 可知, 加酶量在 1.0% ~ 3.0% 范围内, 随着加酶量的增大, 石榴幼果总黄酮得率逐渐提高。当加酶量超过 3.0% 后, 继续增大加酶量, 总黄酮得率不再发生明显变化, 考虑生产成本问题, 确定加酶量为 3.0% 左右。

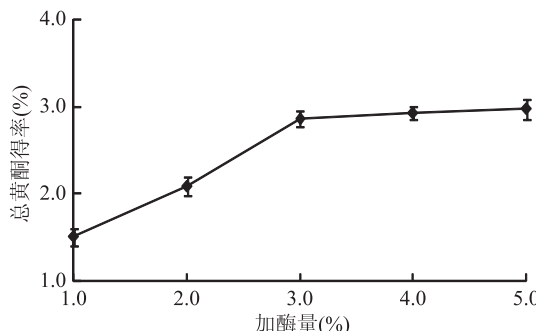


图 1 加酶量对石榴幼果总黄酮得率的影响

Fig.1 Effect of enzyme dosage  
on the yield of total flavonoids

**2.1.2 料液比** 由图 2 可知, 料液比 1:15 左右, 石榴幼果总黄酮得率最高, 继续增大料液比, 总黄酮得率反而略有降低, 原因是溶剂量过大, 在后续处理中, 有效成分会有损失, 因此, 确定料液比为 1:15 左右。

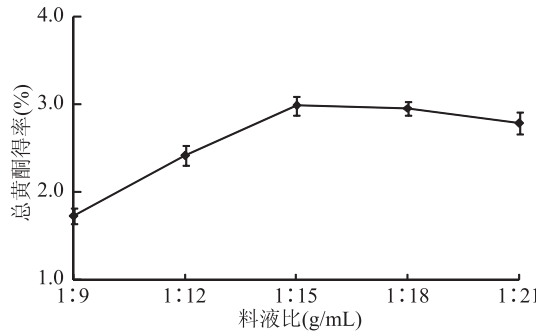


图 2 料液比对石榴幼果总黄酮得率的影响

Fig.2 Effect of solid/liquid ratio  
on the yield of total flavonoids

**2.1.3 介质 pH** 由图 3 可知, 随着介质 pH 的升高,

石榴幼果总黄酮得率逐渐提高,当介质 pH 为 4.5 时,总黄酮得率达到最大值。介质 pH 超过 4.5 后,总黄酮得率呈下降趋势。原因是复合酶只有在最佳 pH 条件下,才能发挥最佳效应,因此确定介质 pH4.5 左右。

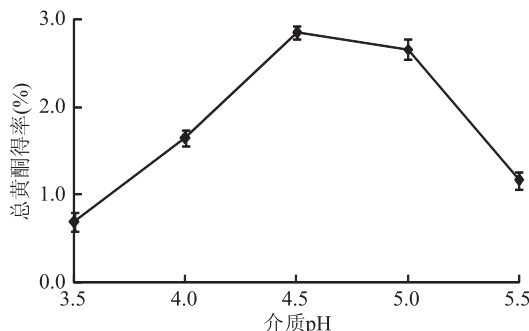


图 3 介质 pH 对石榴幼果总黄酮得率的影响

Fig.3 Effect of medium pH  
on the yield of total flavonoids

2.1.4 酶解温度 由图 4 可知,酶解温度为 50 ℃ 时,总黄酮得率达到最大值。低于或者高于 50 ℃,总黄酮得率相对较低。原因是复合酶只有在最佳酶解温度下,才能发挥最佳效应,因此酶解温度应控制在 50 ℃ 左右。

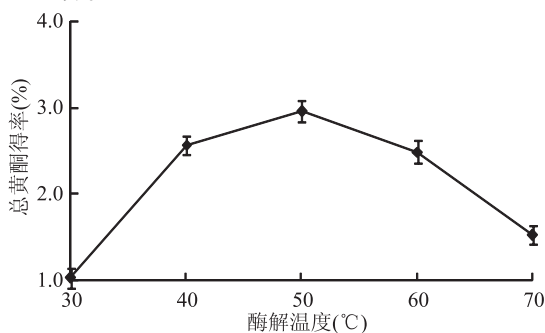


图 4 酶解温度对石榴幼果总黄酮得率的影响

Fig.4 Effect of enzyme hydrolysis temperature on  
the yield of total flavonoids

2.1.5 酶解时间 由图 5 可知,酶解时间在 2.0~4.0 h 之间时,随着酶解时间的延长,石榴幼果总黄酮得率不断提高,超过 4.0 h 后,继续延长酶解时间,总黄酮得率升高趋势不明显,考虑到实际生产问题,控制酶解时间为 4.0 h 左右。

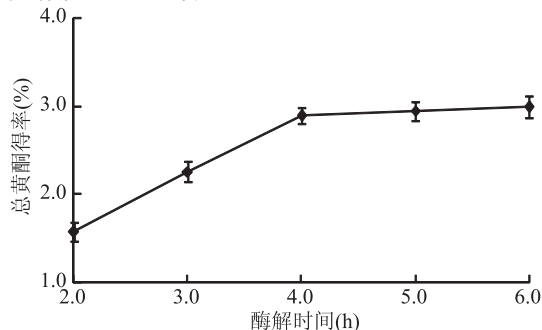


图 5 酶解时间对石榴幼果总黄酮得率的影响

Fig.5 Effect of enzyme hydrolysis time on  
the yield of total flavonoids

## 2.2 D-最优混料设计

采用 Design-Expert 8.0.5 软件给定的试验方案安排实验,优化复合酶中纤维素酶( $X_1$ )、果胶酶( $X_2$ )和木瓜蛋白酶( $X_3$ )的最优配比,以石榴幼果总黄酮得率(Y)作为预测响应值,每个试验号平行试验 3 次,取平均值作为试验结果,试验方案及结果见表 2,因素方差分析结果见表 3。

表 2 D-最优混料设计方案与试验结果

Table 2 Arrangement and corresponding results of  
D-optimal mixture design

试验号	$X_1$	$X_2$	$X_3$	Y (%)
1	0	0	1	1.68
2	1	0	0	2.21
3	0	1	0	1.95
4	1/3	1/3	1/3	3.08
5	1/2	0	1/2	2.74
6	2/3	1/6	1/6	3.01
7	1/2	1/2	0	2.82
8	0	1/2	1/2	2.02
9	1/2	1/2	0	3.05
10	0	0	1	1.97
11	1/6	2/3	1/6	2.93
12	1	0	0	2.32
13	0	1	0	1.99
14	1/6	1/6	2/3	2.65

表 3 D-最优混料设计方差分析结果

Table 3 Results of variance analysis  
for D-optimal mixture design

来源	平方和	自由度	均方	F 值	p 值
模型	2.97	5	0.60	26.08	0.0002
线性混合	0.60	2	0.30	15.66	0.0026
$X_1X_2$	0.92	1	0.92	48.17	0.0002
$X_1X_3$	0.39	1	0.39	20.35	0.0028
$X_2X_3$	0.023	1	0.023	1.19	0.3115
残差	0.028	8	0.0035		
失拟项	0.058	4	0.015	1.02	0.4722
误差项	0.075	4	0.019		
总离差	3.11	13			

对表 2 中的数据进行回归拟合,得到石榴幼果总黄酮得率(Y)的回归方程为:

$$Y = 2.25X_1 + 2.00X_2 + 1.83X_3 + 3.30X_1X_2 + 2.73X_1X_3 + 0.66X_2X_3 \quad \text{式(4)}$$

由表 3 可以看出,整个模型( $p = 0.0002$ )达到极显著水平,失拟项( $p = 0.4722 > 0.05$ )不显著,复相关系数  $R^2 = 0.9572$ ,调整决定系数  $R_{\text{Adj}}^2 = 0.9205$ ,表示可以应用此数学模型解释 92.05% 的变异性。变动系数  $CV = 5.61\%$ ,数值较小,说明回归模型可信度高,因此,可以用该模型对复合酶配比进行优化。

图 6 为 3 个自变量之间交互影响的响应面图和等高线图,响应面图开口向下,说明石榴幼果总黄酮得率的最大响应值存在于曲面上,能够得到 3 种酶最佳配比值。纤维素酶( $X_1$ )和果胶酶( $X_2$ )、纤维素

酶( $X_1$ )和木瓜蛋白酶( $X_3$ )之间交互作用极显著( $p < 0.01$ )。从回归方程一次项系数可以看出,3种酶对于石榴幼果总黄酮得率的影响先后顺序为: $X_1 > X_2 > X_3$ ,而这种影响直接体现在复合酶最优配比上。

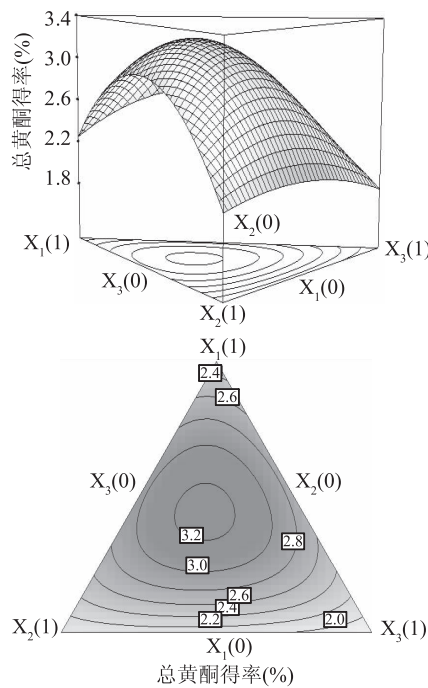


图6 复合酶配比对总黄酮得率的三角曲面图与等高线图

Fig.6 Triangular surface and contour plot

for complex enzyme ratio on the yield of total flavonoids

通过统计分析得到复合酶最优配比为:纤维素酶44.2%、果胶酶31.6%、木瓜蛋白酶24.2%。在上述最优复合酶配比条件下进行3次平行验证试验,得到石榴幼果总黄酮平均得率为 $3.19\% \pm 0.01\%$ ,与模型预测值3.25%较为接近,说明应用D-最优混料试验设计得到的复合酶最优配比是可信、可靠的。

### 2.3 正交试验设计

在单因素实验和D-最优混料试验设计试验基础上,固定加酶量为3.0%,选择料液比(A)、介质pH(B)、酶解温度(C)和酶解时间(D)为考察因素,采用正交设计安排试验,试验安排及结果见表4,方差分析结果见表5。

方差分析表明,影响石榴幼果总黄酮得率的因素主次顺序为酶解温度(C)>酶解时间(D)>介质pH(B)>料液比(A),C具有极显著性,而A、B和D无显著性影响,得出最佳提取工艺为 $A_3B_3C_2D_2$ 。即:料液比1:18,介质pH5.0,酶解温度50℃,酶解时间4.0 h。

### 2.4 最佳工艺条件的验证

称取3份干燥石榴幼果粉末各5 g,按照最优混合酶比例以及优化工艺提取,总黄酮得率平均值为 $3.38\% \pm 0.015\%$ ,RSD为0.444%,表明提取工艺稳定可靠。

### 2.5 石榴幼果总黄酮抑制 $\alpha$ -葡萄糖苷酶活性

应用公式(2)计算得出纯化后的石榴幼果总黄

表4 正交试验方案与结果

Table 4 Arrangement and corresponding results of orthogonal experimental design

试验号	A	B	C	D	得率(%)
1	1	1	1	1	1.98
2	1	2	2	2	3.36
3	1	3	3	3	2.81
4	2	1	2	3	3.18
5	2	2	3	1	2.56
6	2	3	1	2	2.37
7	3	1	3	2	2.86
8	3	2	1	3	2.34
9	3	3	2	1	3.19
$k_1$	2.72	2.67	2.23	2.58	
$k_2$	2.70	2.75	3.24	2.86	
$k_3$	2.80	2.79	2.74	2.78	
R	0.10	0.12	1.01	0.28	

表5 正交试验方差分析结果

Table 5 Results of variance analysis for orthogonal experimental design

方差来源	平方和	自由度	F	p
A	0.015	2	1.000	>0.05
B	0.021	2	1.400	>0.05
C	1.540	2	102.667	<0.01
D	0.130	2	8.667	>0.05
误差	0.015	2	1.000	

注: $F_{0.05}(2,2) = 19.000, F_{0.01}(2,2) = 99.000$ 。

酮固体物质纯度约为66.5%,通过含量换算,将该纯化物依次配制成浓度为0.15、0.3、0.6、0.9、1.2、1.5、1.8、2.1 mg/mL的石榴幼果总黄酮样品溶液,用于抑制 $\alpha$ -葡萄糖苷酶活性测定,以阿卡波糖作为阳性对照。以加入反应体系前抑制剂的浓度为横坐标,对应的抑制率为纵坐标,绘制抑制曲线,见图7。

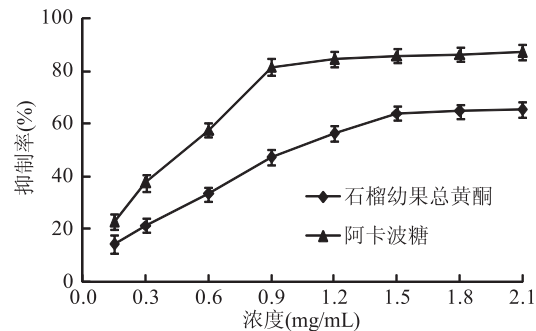


图7 石榴幼果总黄酮对 $\alpha$ -葡萄糖苷酶抑制作用浓度效应曲线

Fig.7 Concentration-effect curve about anti- $\alpha$ -glucosidase activity of total flavonoids

由图7可知,在0.15~1.5 mg/mL范围内,随着浓度的增加,石榴幼果总黄酮对 $\alpha$ -葡萄糖苷酶的抑制率明显增加,当浓度达为1.5 mg/mL时,抑制率达到63.9%。石榴幼果总黄酮浓度与对 $\alpha$ -葡萄糖苷酶的抑制率之间存在着一正相关性,拟合方程为 $y =$

$37.41x + 10.40$ , 决定系数  $R^2 = 0.989$ 。通过拟合方程算出石榴幼果总黄酮对 PNPG 抑制作用的  $IC_{50} = 1.059 \text{ mg/mL}$ <sup>[22]</sup>。同理, 阿卡波糖对 PNPG 抑制作用的  $IC_{50} = 0.490 \text{ mg/mL}$ , 石榴幼果总黄酮对  $\alpha$ -葡萄糖苷酶的抑制活性低于阿卡波糖。

图 8 和图 9 为酶抑制动力学曲线。由图 8 可知, 加入石榴幼果总黄酮组与其阴性对照组, 所得到的两条酶浓度-反应初速率曲线均近似通过了原点, 说明石榴幼果总黄酮对  $\alpha$ -葡萄糖苷酶的抑制类型属于可逆性抑制。由图 9 可知, 石榴幼果总黄酮抑制  $\alpha$ -葡萄糖苷酶的 Lineweaver-Burk 曲线, 不同浓度各组均在 X 轴负半轴几乎交于一点, 说明底物浓度升高不能降低石榴幼果总黄酮的抑制活性, 具备非竞争性抑制作用特点<sup>[23]</sup>。以 PNPG 为底物测定天然产物抑制  $\alpha$ -葡萄糖苷酶活性的大小是目前最常用的方法, Lineweaver-Burk 双倒数作图分析是一种非常有效的方法, 作图后如果得到一组相较于 Y 轴的直线, 则为竞争性抑制, 如果得到一组相交于 X 轴的直线, 则为非竞争性抑制, 如果得到一组平行的直线, 则为反竞争性抑制, 如果得到一组相交于第二或第三象限的直线, 则为混合型抑制<sup>[24-25]</sup>。石榴幼果中总黄酮对  $\alpha$ -葡萄糖苷酶抑制作用的 Lineweaver-Burk 双倒数作图交于 X 轴负半轴, 属于非竞争性抑制。

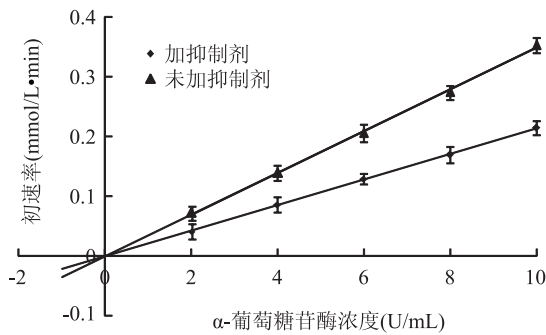


图 8 酶浓度-反应初速率曲线

Fig.8 Enzyme concentrate-initial reaction rate curve

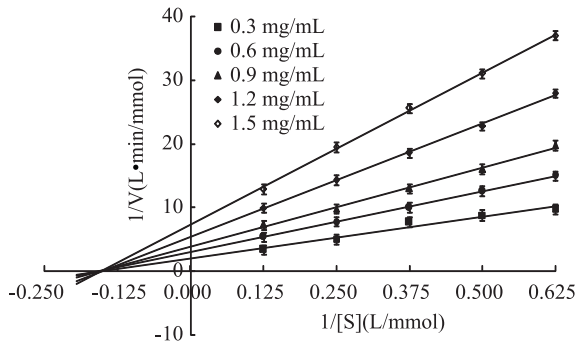


图 9 石榴幼果总黄酮的 Lineweaver-Burk 曲线

Fig.9 Lineweaver-Burk curve of total flavonoids

### 3 结论

本试验将 D-最优混料设计应用于复合酶(纤维素酶-果胶酶-木瓜蛋白酶)的比例优化, 得到纤维素酶 44.2%、果胶酶 31.6%、木瓜蛋白酶 24.2% 的复合酶, 进而得到石榴幼果总黄酮的最佳提取条件为: 料

液比 1:18 (g/mL)、介质 pH5.0、酶解温度 50 °C、酶解时间 4.0 h, 石榴幼果总黄酮得率为 3.38%, 其浓度为 1.5 mg/mL 时, 对  $\alpha$ -葡萄糖苷酶抑制率达到 63.9%, 总黄酮与其对  $\alpha$ -葡萄糖苷酶抑制效果之间呈现一定的正相关关系, 其抑制机理属于可逆性抑制和非竞争性抑制。现有临床应用的  $\alpha$ -葡萄糖苷酶抑制剂降血糖作用机制表明, 抑制剂往往是通过在小肠中和  $\alpha$ -葡萄糖苷酶底物竞争性地结合到催化活性位点, 来达到减少底物的分解以降低血糖的目的, 其作用机制是明显的竞争性抑制。但是, 这种抑制往往受到底物浓度的影响, 如果存在高浓度的底物时, 这种抑制作用非常弱, 甚至达不到抑制的效果, 因此, 应用这类竞争性抑制剂控制餐后血糖时, 还要严格控制饮食的摄糖量<sup>[18]</sup>。而石榴幼果中总黄酮对于底物的抑制, 属于非竞争性抑制类型, 底物浓度升高不能降低石榴幼果总黄酮的抑制活性, 抑制作用与其自身浓度有关, 而与底物浓度关系较小。治疗糖尿病时, 可以通过增大自身剂量来增强抑制效果。石榴幼果总黄酮具有作为新一代  $\alpha$ -葡萄糖苷酶抑制剂的潜在开发价值, 后续研究可以追踪相应的活性单体成分, 并对其抑制机理作进一步深入研究。

### 参考文献

- [1] 汪小飞, 周耘峰, 黄埔, 等. 石榴品种数量分类研究 [J]. 中国农业科学, 2010, 52(5): 1093-1098.
- [2] 吕春茂, 杨国放, 蔡英时, 等. 不同修剪和疏果措施对番石榴产量及果实品质的影响 [J]. 北方果树, 2007, 29(3): 6-7.
- [3] 张文娟, 潘灵刚, 王亚军, 等. 微波辅助提取椪柑幼果总黄酮工艺优化及其抗氧化活性研究 [J]. 食品工业科技, 2015, 36(5): 223-226.
- [4] 王振江, 罗国庆, 唐翠明, 等. 桑椹成熟过程中酚类物质、总黄酮及花色素含量的动态变化 [J]. 热带作物学报, 2011, 32(9): 1658-1660.
- [5] 马英丽, 赵桦, 闫蕊, 等. 蜜棯叶、花及果实中总黄酮含量积累动态研究 [J]. 天然产物研究与开发, 2016, 28(10): 1572-1575.
- [6] 高文秀, 祝波, 王亚红. 酶解法协同超声波法提取山楂叶总黄酮的工艺条件优化 [J]. 食品工业科技, 2014, 35(2): 252-254.
- [7] 耿敬章. 柳叶腊梅叶总黄酮超声波协同复合酶提取及抗氧化活性研究 [J]. 食品工业科技, 2016, 37(21): 124-129.
- [8] 李斌, 范源, 李鑫. 基于 PI3K/Akt 信号通路的中药治疗 2 型糖尿病胰岛素抵抗研究进展 [J]. 中成药, 2017, 39(1): 151-154.
- [9] 叶晓平, 宋纯清, 袁萍, 等. 糖尿病常用中药中常见成分的  $\alpha$ -葡萄糖苷酶和  $\alpha$ -淀粉酶活性抑制作用 [J]. 中国天然药物, 2010, 8(5): 349-352.
- [10] 陈浙江, 袁萍, 叶晓平, 等. 治疗糖尿病常用中药对  $\alpha$ -葡萄糖苷酶和  $\alpha$ -淀粉酶的抑制活性研究 [J]. 中成药, 2008, 30(11): 1661-1664.
- [11] 马锦锦, 林娟娜, 魏崧丞, 等. 葛根异黄酮类化合物对 (下转第 188 页)

## 参考文献

- [1] 葛文成.紫甘薯高产栽培技术[J].蔬菜,2011(10):9-10.
- [2] 肖海峻,施鹏飞,杨新建,等.甘薯紫色素及提取技术研究进展[J].食品研究与开发,2014,35(19):137-140.
- [3] 胡林子,马永全,于新.紫甘薯色素抗菌与抗氧化作用研究进展[J].食品工业科技,2011,32(2):389-392.
- [4] 肖素荣,李京东.新型天然色素—紫甘薯色素[J].中国食物与营养,2009(6):29-31.
- [5] Khoo, Azlan, Tang, et al. Anthocyanidins and anthocyanins: colored pigments as food, pharmaceutical ingredients, and the potential health benefits[J]. Taylor & Francis, 2017, 61(1): 1-21.
- [6] 陈娟,唐建,宋锐,等.紫甘薯新品种内渝紫2号[J].中国蔬菜,2017(3):101-102.
- [7] 余燕影,王杉,曹树稳,等.川山紫薯色素提取分离及主要组成成分分析[J].食品科学,2004(11):167-170.
- [8] 胡梦琳,杨甲甲,代涛,等.紫薯色素两种提取方法的比对研究[J].食品科学,2011,32(6):247-249.
- [9] 瞿立峰,李丹花,殷春燕,等.大孔吸附树脂分离纯化紫甘薯色素的动力学分析[J].江苏农业科学,2018,46(10):199-202.
- [10] 洪镭,刘亚鸥.紫甘薯研究综述[J].吉林农业,2010(6):140.

(上接第183页)

- $\alpha$ -葡萄糖苷酶的抑制作用及构效关系[J].中成药,2015,37(5):858-862.
- [12] 邹宇,胡力明,胡文忠,等.D-最优混料设计优化菊花枸杞饮料配方及其抗氧化活性的研究[J].食品工业科技,2014,35(14):241-244.
- [13] 罗鹏,周金玲,陈国刚,等.基于混料设计试验优化包埋打瓜子油中不饱和脂肪酸的复合壁材[J].粮食与油脂,2015,28(10):25-27.
- [14] 邓思节,汉斯·格里格森正交试验法优化屈曲花总黄酮的超声波辅助提取工艺[J].食品工业科技,2016,37(3):275-278.
- [15] 吴清韩,李云,刘志聪,等.凤凰单丛茶叶籽果皮和种皮总黄酮提取工艺的优化[J].食品工业科技,2018,39(5):166-170.
- [16] 何月秋,付涛,李文,等.明日叶总黄酮超声提取工艺优化及其DPPH清除能力[J].中成药,2016,38(12):2703-2706.
- [17] 易醒,桂菲菲,尹红梅,等.泽泻对鼠源 $\alpha$ -葡萄糖苷酶的抑制作用[J].天然产物研究与开发,2013,25(12):1644-1648.
- [18] 张红城,孙庆申,王光新,等.蜂胶乙醇提取物对 $\alpha$ -葡萄糖苷酶的抑制作用[J].食品科学,2011,32(5):108-110.
- [19] 刘富月,王晓东,李守鹏,等.不同品种生姜提取物对 $\alpha$ -葡萄糖苷酶的抑制作用[J].食品与发酵工业,2014,40

- [11] 潘颉,代刚,王晓云,等.紫甘薯红色素及淀粉一体化提取方法研究[J].云南化工,2017,44(4):41-43.
- [12] 张明,王燕.紫甘薯酒发酵工艺研究[J].酿酒科技,2011,206(8):53-56.
- [13] 洪秀景.紫甘薯酒发酵工艺研究[D].成都:四川农业大学,2013.
- [14] 张杨波,李蕾,李霞,等. $\alpha$ -淀粉酶解紫甘薯糖化效果及色素提取的研究[J].中国酿造,2016,35(4):145-148.
- [15] 刘艳杰,张健,宋晓秋.大孔树脂纯化紫薯花色苷的研究[J].上海应用技术学院学报(自然科学版),2012,12(1):13-17.
- [16] 中华人民共和国国家卫生健康委员会.GB/T5009.48-2003 蒸馏酒与配制酒卫生标准的分析方法[S].2003.
- [17] 王蓬际.氮源及无机盐对酒精发酵的影响[J].酿酒,2005(4):31-33.
- [18] 武运,杨海燕,冯馨,等.库尔勒香梨果酒酿造工艺研究[J].食品工业科技,2008(12):148-149,152.
- [19] 柯善恢,伍时华,张健,等.氮源对酿酒酵母GJ2008不同糖浓度甘蔗汁酒精分批发酵的影响[J].中国酿造,2016,35(5):31-36.
- [20] 刘兴艳.低pH对酿酒酵母酒精发酵的影响及酵母应答酸胁迫机制初探[D].北京:中国农业大学,2015.
- [21] 钟坤,谭德冠,孙雪飘,等.木薯淀粉生料发酵生产酒精研究[J].中国农学通报,2014,30(6):119-123.
- (12):6-9.
- [20] Jin F W, Yuan Y L, Fu D S. Antioxidant activities,  $\alpha$ -glucosidase inhibitory *in vitro* and effects of Lysimachia paridiformis Franch. var. stenophylla Franch. on alloxan-induced diabetic mice *in vivo* [J]. Journal of Medicinal Plants Research, 2012, 6(14):2793-2800.
- [21] Cheng N, Yi W B, Wang Q Q, et al. Synthesis and  $\alpha$ -glucosidase inhibitory activity of chrysanthemum, diosmetin, apigenin, and luteolin derivatives [J]. Chinese Chemical Letters, 2014, 25(7):1094-1098.
- [22] 康文艺,张丽,宋艳丽.茜草抑制 $\alpha$ -葡萄糖苷酶活性成分研究[J].中国中药杂志,2009,34(9):1104-1107.
- [23] 罗晶洁,王尉,曹学丽.桑叶多糖的分离纯化及对 $\alpha$ -葡萄糖苷酶的抑制活性[J].食品科学,2011,32(3):112-116.
- [24] 蔡建秀,顾雅青,黄晓冬,等.桐花树叶乙酸乙酯部位提取物对 $\alpha$ -葡萄糖苷酶的抑制活性作用[J].食品研究与开发,2015,36(24):1-6.
- [25] Zhu F, ASADA T, SATO A, et al. Rosmarinic acid extract for antioxidant anti-allergic, and  $\alpha$ -glucosidase inhibitory activities, isolated by supramolecular technique and solvent extraction from Perilla leaves [J]. Journal of Agricultural and Food Chemistry, 2014, 62(4):885-892.